

高分子材料の機能化に対する表面解析の展開

1. ポリマーアロイ表面の解析

黒崎 和夫*

理学電機工業(株) 〒569-11 大阪府高槻市赤大路町 14-8

(1996年12月2日受理)

Evolution of Surface Analysis for Functional Polymers

1. Surface Analysis of Polymer Alloys

Kazuo KUROSAKI

Rigaku Industrial Corporation
14-8 Akaaji, Takatsuki, Osaka 569-11

(Received December 2, 1996)

Surface segregation or the formation of high order structure in surface layer for polymer alloys was clarified by NRA, XPS or Dynamic SIMS. Several concrete examples of surface analysis for such polymer alloys were shown and discussed.

1. はじめに

ポリエチレン、ポリプロピレン、ポリエステルなど我々が日常生活の中で使用している汎用高分子に対して、電気、磁気、光、熱、力などの外界の刺激に対して応答できる機能を持った、いわゆる機能性高分子がハイテク時代の要請に応えて開発されている。機能性高分子をつくり出す場合、始めから分子設計を行い、新物質を合成するか、あるいは既存の高分子に何らかの方法で手を加えることが行われる。ここでは後者の中で表面の特性が機能化を支配するポリマーアロイと表面改質の二つの問題を取り上げ、それぞれ本号と次号に分けて解説する。

2. ポリマーアロイ表面の特徴

高分子、すなわちポリマー（「ポリ」は「多」、「マー」は「部分」を意味する）は基本となる構造単位であるモノマー（「モノ」は一つを意味する）が共有結合によって次々につながって形成される。一種類のモノマーから構成される高分子はホモポリマーといわれているが、高

分子材料の性能や機能に対する要求が高度化および多様化するに伴い、このような要求を唯一の高分子によって満足させることは、まず不可能といってよいであろう。そこで一つの手段として、異種の高分子を組み合わせてそれぞれの高分子のもつ特性の複合化による効果が期待されるようになった。このような多成分系高分子材料は、金属材料の多くのものが異種の金属の組み合わせである合金（アロイ、Alloy）によって機能化されているのと同様であるという考え方から、この種の高分子に対してポリマーアロイという名称が通用するようになった。ポリマーアロイとしては、性質の異なる2種の高分子を物理的に混合したもの（ポリマーブレンド）、化学的に末端基同士を一列に繋ぎ合わせたもの（ブロック共重合体）または分子鎖の途中にペンドント状に他のポリマーを繋いだもの（グラフト共重合体）が実用化されているが、何れの場合にもそれぞれの成分の高分子がお互いに溶けあって均一相を形成する場合（相溶性）と相分離して2相を形成する場合が認められている。一方、高分子では、分子鎖の並び方の規則性に基づく結晶領域と規則性からはずれた非晶領域が混在しているが、全体の分子形態としては、結晶部分の高分子鎖は平面上にジグザグ

* 現住所 〒250 神奈川県小田原市板橋 870-49 (自宅)

構造をとったり、あるいはラセンを巻きながら真っ直ぐに伸びたりしたものが規則正しく並んでいる。これは高分子を特徴づける一次構造と言われるものであるが、一つの結晶は分子鎖が折り畳まれたり、あるいは何本もの分子鎖が束ねられたりして分子鎖に直角な方向に板状に広がった形の、いわゆるラメラを形成し、全体としては、このラメラが何層も重なった高次構造をとる場合がある。一つのラメラと隣りのラメラとの間を連結する分子や一つのラメラの中で分子鎖の折れ曲がった部分は乱れた構造になっており、非晶領域（アモルファス領域）を形成する。ラメラ構造を示す場合でも示さない場合でも、表面近傍には表面自由エネルギーの小さい成分または部分が集まり易い。その結果として、特定成分あるいは部分の偏析が起こったり、深さ方向の周期的構造が形成されたりする。以下にこれらの現象が実際に各種の表面分析法によってどのように解明されているかについて解説を行いたい。

3. 表面および界面偏析

含フッ素ポリマーは非含フッ素ポリマーに比べて表面自由エネルギーが著しく小さい。両者を含む溶液をガラス基板上にキャストすることによって調製されたフィルムの表面および基板との界面についてXPS測定を行うと、表面側からはF 1sの顕著なピークが見られる（表面偏析）のに対し、界面側からはFは殆ど検出されない（界面偏析）。含フッ素ポリマーの含有率が10%程度でもフィルム表面のXPSスペクトルは含フッ素ポリマー単独のそれに極めて近い¹⁾。このような場合、含フッ素ポリマーは表面から深くなるに従ってその濃度が減少するという深さ方向の分布（デプスプロファイル）を示す。デプスプロファイルを求める方法として、XPSにおける光電子の取り出し角を変化させていろいろな深さにおけるF 1sの相対強度の変化を解析する方法、Dynamic SIMS (DSIMS)によるF⁺またはF⁻のデプスプロファイル^{2, 3)}、共鳴核反応を利用する分析法 (NRA)などが知られている。ここでは、NRAの応用例⁴⁾を紹介しておく。

3種の含フッ素ポリマーの共重合体Hostaflon^{*}3%とポリメタクリル酸メチル(PMMA)97%の共重合体のメチルエチルケトン溶液をシリコン基板上でスピンドルすることで得られたポリマーブレンドフィルムに484 keVに加速されたプロトンを照射すると、¹⁹F(p, αγ)¹⁶Oの共鳴核反応が起こる。このときに放出される、6.13, 6.92および7.12 MeVのエネルギーのγ線収量を

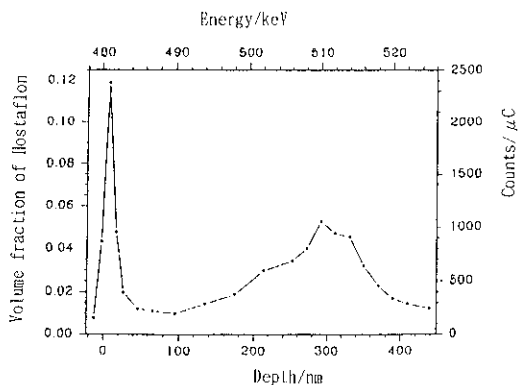


Fig. 1 Depth profile of F (Hostaflon) in Hostaflon/PMMA (3/97) blend film (370 nm thick) on a Si substrate, as measured by NRA.⁴⁾

計測するのである。γ線収量のもっと大きいプロトンの共鳴エネルギーは高エネルギー側に数多く存在するが、484 keVのプロトンは共鳴幅が0.9 keVと非常に狭く、プロトンビームを試料表面に対して30度の角度で照射することにより表面で15 nm、表面から200 nmの深さのところで50 nmの深さ分解能が得られている。また、フィルムの厚さが500 nm以下であれば近くに存在する340および597 keVの共鳴エネルギーの影響は受けない。Fig. 1はプロトンのエネルギーを480 keVから上昇させていったときに得られた上記試料(370 nm厚)中のHostaflonのデプスプロファイルを示す。Hostaflonの表面濃度は、ほぼ12%でバルク濃度の4倍に達している。一方、シリコン基板との界面付近でもHostaflonの濃度はバルク濃度のほぼ2倍に達しているが、これはHostaflon分子がシリコン基板上の酸化膜SiO₂によって引きつけられたことを示す。

ポリスチレン(PS)とポリエチレンオキシド(PEO)の二成分系は非相溶性のポリマーブレンドやブロック共重合体を形成するが、PSはPEOよりも小さい表面自由エネルギーをもっているので、PSの表面偏析がおこる。この場合はXPSにおけるC 1sのピーク位置がPSで285.0 eV、PEOで286.5 eVに現れるので、波形分離により両者の強度比から表面組成を求めることができる。Fig. 2は、光電子の取り出し角を90度にした時、両者のポリマーブレンドおよびジブロック共重合体に対して求められたPSのバルク濃度と表面濃度との関係を示す⁵⁾。この場合のホモポリマーとしてのPSおよびPEOの重量平均分子量はそれぞれ、~11,000および25,000で、ブロック共重合体としてのそれぞれの部分の数平均分子量は、何れも10,000のオーダーである。Fig. 2からポリマーブレンドでもブロック共重合体でもPSのバル

* Hoechst AGの登録商標、Hostaflon TFBX 7200

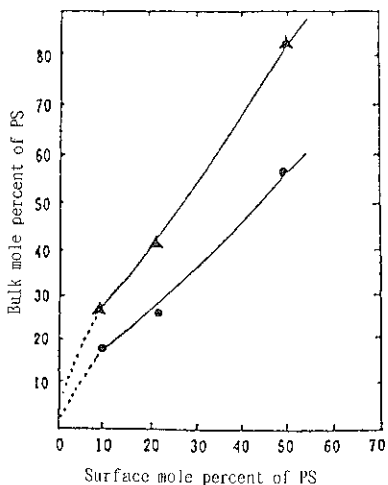


Fig. 2 Plots of the surface mole percent of PS versus the bulk mole percent of PS for PS/PEO films of diblock copolymers (\blacktriangle) and of blend polymers (\bullet).⁵⁾

ク濃度に比べて表面濃度が高く、PSの表面偏析が示されている。その程度はブロック共重合体の方が顕著であるが、これはブロック共重合体では異種ブロック同士のつながりによる拘束のため、ミクロ相分離を起こしやすいことに基づいていると考えられる。

高分子の混合系では、製膜時に使われる溶媒によって相溶性を示したり、相分離を起こしたりするものがある。また、低温では相溶性を示しても高温では相分離するLCST (lower critical solution temperature, 下限臨界共溶温度) を示す現象も知られている。PSとポリビニルメチルエーテル (PVME) のブレンドはその典型的な例といえる。この系では PVME が PS より表面自由エネルギーが小さいので、PVME の表面偏析が起こる。この場合には、XPS の C1s スペクトルにおいて、PS の繰り返し構造単位に含まれる 8 個の C 全部および PVME の繰り返し構造単位に含まれる 3 個の C のうちの 1 個は 285.0 eV に、PVME の繰り返し構造単位中の残りの 2 個の C は 286.6 eV にピークが現れるので、両者の強度比の測定結果からそれぞれのポリマーの表面濃度を求めることができる。Pan と Prest⁶⁾は数平均分子量がそれぞれ、119,500 および 103,600 の PS および PVME の重量分率をいろいろ変えて C1s の測定を行い、相溶および相分離状態における PVME の表面偏析を定量的に示した。Fig. 3 は溶液からキャストされた PS/PVME (バルク重量比 : 50/50) ブレンド膜の C1s スペクトルの違いを示す。この図の中で [] 内の数字は PVME の表面濃度を重量%で示した値である。PVME の表面偏析の程度は、相溶状態、溶媒による相分離状態、相溶状態のも

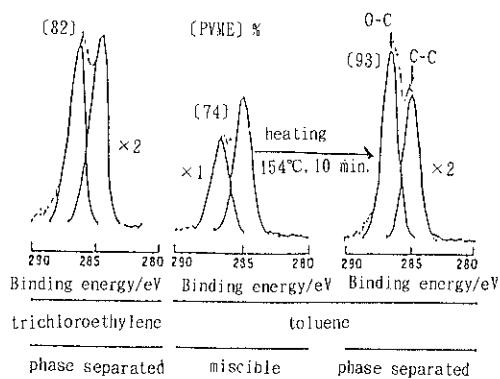


Fig. 3 Comparison of C1s core level spectra of the PS/PVME (50/50) blend films dip coated from trichloroethylene solution (left) and toluene solution (right).⁶⁾

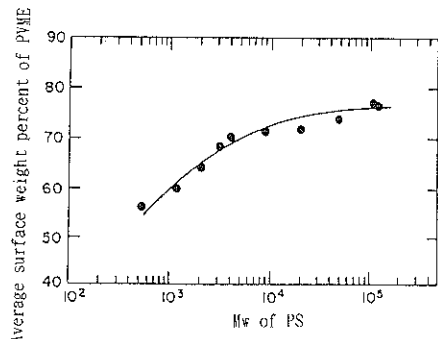


Fig. 4 Average surface weight percent of PVME (M_w :99 k) obtained from XPS versus molecular weight of PS for PS/PVME (50/50) blend film.⁶⁾

のを 154°C (LCST 以上の温度) に 10 分間加熱して相分離状態にしたもの順に大きくなっている。

以上の表面偏析の議論には、暗黙のうちに、平均分子量があまり大きく違わないポリマーが扱われていた。しかし、ホモポリマーの表面張力 γ は分子量の低下とともに小さくなる。その関係は、

$$\gamma = \gamma_\infty - K_e / M_n^{2/3}$$

で表される⁷⁾。ここに、 M_n は数平均分子量、 K_e は実験的に決められる定数、 γ_∞ は分子量が限りなく大きくなつた場合の表面張力である。したがって表面偏析の度合いにも分子量依存性が現れるはずである。PS と PVME の場合、PVME の重量平均分子量 (M_w) を 99,000 に固定し、PS の分子量を 500 から 100,000 まで変化させてバルク重量比が 50/50 のブレンド系について PVME の表面濃度の PS の分子量依存性を示したのが Fig. 4 である⁶⁾。分子量の差がもっと大きくなると、表面偏析成分

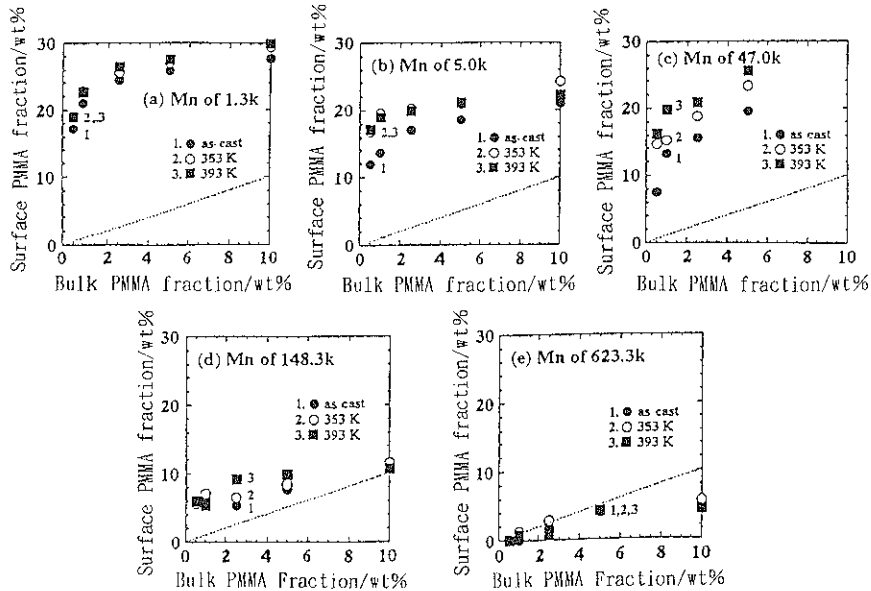


Fig. 5 Surface PMMA fraction versus bulk PMMA fraction for asymmetric blend polymer films of PS (M_n : 1450 k)/PMMA (M_n : 1.3~623.3 k).⁹⁾

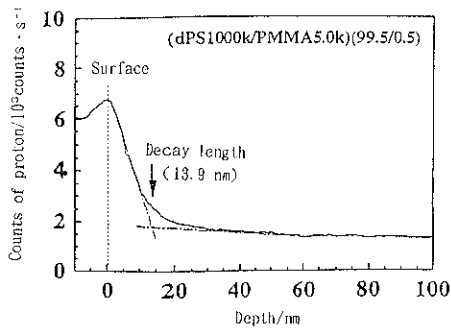


Fig. 6 DSIMS depth profile of H (PMMA) in the asymmetric blend film of PSD (M_n : 1000 k)/PMMA (M_n : 5 k) (99.5/0.5).⁹⁾

が逆転することがある。ポリメチルメタクリレート(PMMA)はPSよりも表面自由エネルギーが大きいので、両者のブレンドでは通常はPSの表面偏析が見られるはずである。田中ら⁹⁾は M_n =1,450,000のPSに対して、 M_n を1,300から623,300まで変えた5種のPMMAをブレンドした系のXPS測定結果から上記の逆転現象を見いだしている。Fig. 5には、このブレンド系における、いろいろな M_n のPMMAのバルク濃度と表面濃度との関係が示されている。この場合には、PMMAのバルク濃度分率が10%以下では、PMMAの M_n がPSの M_n のほぼ10分の1より小さいと、PMMAの表面偏析が起ることが明らかにされている。さらに、田中ら⁹⁾はPS

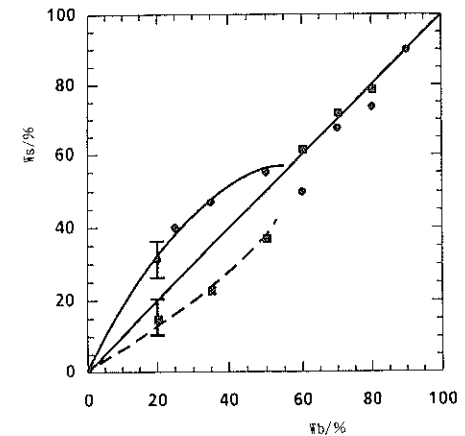


Fig. 7 Surface PVDF weight percent (Ws) versus bulk PVDF weight percent (Wb) for the as cast PVDF/PMMA blends (circle and solid line) and the blends quenched from the melts annealed at 200°C for one hour (squares and dash line).¹⁰⁾

に含まれるHをすべてDに置換したもの(PSD) (M_n =1,000,000)とPMMA (M_n =5,000)を99.5:0.5の重量比でブレンドしてできたフィルムに対して、Fig. 6のようにDSIMSによってH⁺のデプスプロファイルを測定し、H成分つまりPMMAが表面層のほぼ10 nm程度の厚さに濃縮されていることを明らかにした。

表面偏析逆転の現象はポリマーブレンドの一方がバル

ク中で結晶化しやすい場合にも起こる。ポリフルオロビニリデン (PVDF) と PMMA のブレンド系においては、溶液からキャストされたままのフィルムでは PVDF の表面偏析が起こるが、PVDF はブレンドされた状態でも加熱急冷によってバルク中で結晶化しやすいので、表面に PVDF が欠乏していく。Fig. 7 はこのフィルム中の PVDF のバルク濃度と表面濃度との関係を示したもので、実線は通常にキャストされたフィルム、破線は 200°C に 1 時間アニールしてから液体窒素温度に急冷して得られたフィルムに対するものである¹⁰。PVDF の濃度分率が 60% までは結晶化による表面偏析逆転の現象が認められる。

4. 深さ方向の周期的構造

ブロック共重合体に結晶性の部分が存在すると、フィルムの加工工程において分子軸をポリマー表面に垂直にして、分子鎖がほぼ同じ長さで何重にも折れ曲がって束ねられた、いわゆるラメラ構造が生成し、この構造がポリマー表面に平行に発達して深さ方向に規則的に配列し周期的構造を示すことがある。この場合には、Fig. 8 に模式的に示されているように、相溶状態 (a) → ミクロ相分離 → ラメラ生成 (b) → ラメラ配向 (c) のような形態的变化が行われる。(b) および (c) の黒色部は表面偏析部分、白色部は界面偏析部分を示す。このような周期的構造は、ブロックを構成するポリマーの一方に含まれる H を D に置き換えたものを合成すれば、D か H のデプスプロファイルを求ることにより証明できる。デプスプロファイルを求める方法としては、元素分析を行う DSIMS や NRA のような直接法および中性子または X 線の反射を利用する間接法があるが、ここでは直接法を用いた実例について説明する。

トルエンを溶媒として、室温でシリコン基板上にスピ

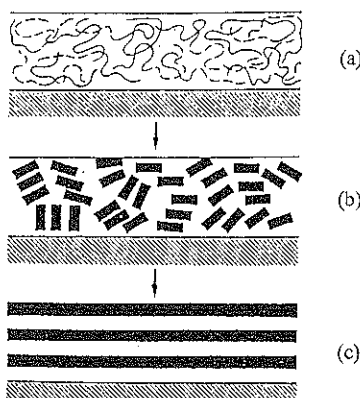


Fig. 8 Schematic diagram showing the growth of microphase separation in diblock copolymer.

ンコートすることによって調製された重水素化 PS (PSD) と PMMA の対称ジブロック共重合体 (PSD-b-PMMA、両ポリマーの分子量は各々もほぼ、50,000) の 100 nm および 500 nm の厚さのフィルムを 170°C でアニールするとき、アニーリング時間をいろいろ変えて DSIMS 測定を行った結果をそれぞれ Fig. 9 および Fig. 10 に示す¹¹。Fig. 9 において、as cast のものでは D の濃度変化は殆ど見られないが、5 分後には PSD の基板側の濃度減少とともに、やや周期性を示すミクロドメインの配向が見られる。さらにアニーリングを続けることによ

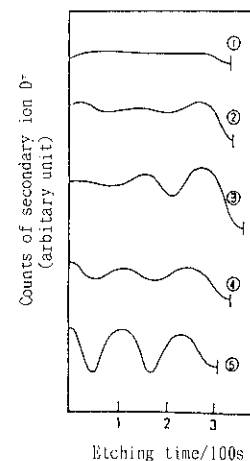


Fig. 9 DSIMS depth profile of D (PSD) in PSD-b-PMMA film (~100 nm thick)¹¹ [as cast (①), and annealing for 5 min (②), 15 min (③), 60 min (④) and 480 min (⑤); annealing temperature: 170°C]

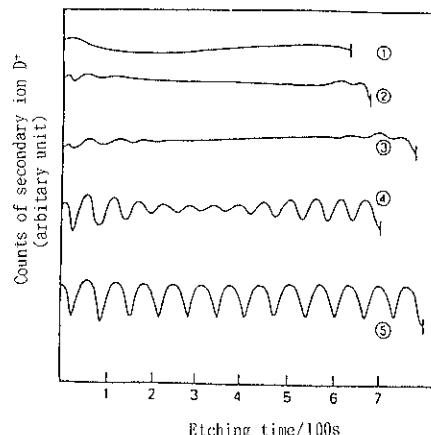


Fig. 10 DSIMS depth profile of D (PSD) in PSD-b-PMMA film (~500 nm thick)¹¹ [as cast (①), and annealing for 5 min (②), 15 min (③), 120 min (④) and 480 min (⑤); annealing temperature: 170°C]

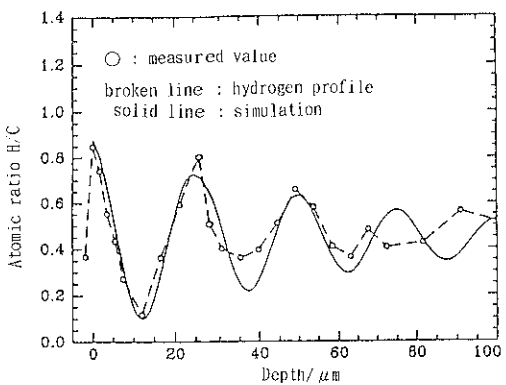


Fig. 11 NRA depth profile of H (PMS) in as cast film of symmetric PSD-b-PMS (800 nm thick).¹²⁾

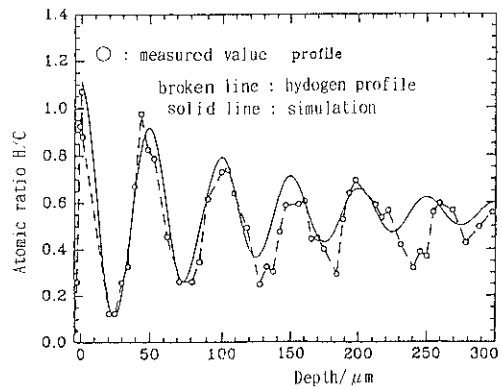


Fig. 12 NRA depth profile of H (PMS) in symmetric PSD-b-PMS film annealed at 150°C for 60 h in vacuum.¹²⁾

より、周期的構造が明瞭になるとともに、空気側のPSDの偏析も示すようになる。フィルムの厚さがもっと大きい場合には、Fig. 10に示されるように、アニーリング時間が長くなるに従って空気側と基板側の両方から周期的構造があらわれ、480分後には全厚みにわたってラメラの周期的構造（1周期長：40 nm）が現れている。

PSD-b-PMMAと同じ方法で調製されたPSDとポリラメチルスチレン（PMS）の対称ジブロック共重合体（PSD-b-PMS、それぞれのポリマーの繰り返し構造単位の数は、ほぼ1,000）の厚さ800 nmのフィルムでは、as castのものと真空中150°Cで60時間アニールしたものについてHの深さ方向の分布をH(¹⁵N, αγ) ¹²CのNRAによって求めた結果を、それぞれ、Fig. 11およびFig. 12に示す¹²⁾。この場合は、6.38 MeVのN⁺照射による共鳴核反応によって放出される4.43 MeVのγ線が検出されている。Fig. 11から明らかなように、このフィルムは常温でスピンドルコートされた時点ですでに60 nm位の深

さまでは周期的構造を有していてPMSが表面に偏析している。PMSとPSDの両部分は化学的に結ばれているので、PMSの層の次にはPSDの層が来る。そこでHの濃度の減少が起こり、次にPMSの層が現れた時に再びHの濃度が増加する。このようにしてHの濃度の減少と増加が繰り返されて周期的構造を示す。この測定では、イオンビームと試料面との間の角を10度に取つてあるので、深さ分解能が良好で10 nm以下の値が得られている。Fig. 12ではアニーリングによって300 nm位の深さまでラメラ構造が発達して構造変化の周期がas castの場合の25 nmから50 nmまで増加している。なお、両図における実線は深さ分解能がイオンのエネルギー・トラギングのために深さとともに悪くなることを考慮した上で、Hの濃度変化を示す振動が指数関数的に減少する正弦曲線に従うと仮定した時のシミュレーション曲線¹³⁾を示す。

5. おわりに

高分子の機能化にはいろいろな方法が実用化されているが、本稿ではポリマー・アロイに限定して表面分析によって明らかにされる現象を紹介した。ここでは、真空または通常の雰囲気に高分子が接している場合の表面について述べられたが、水または高湿度の空気に接していたり、基板の種類を変えたりした場合には、高分子表面または界面にはそれぞれ表面または界面自由エネルギーのより大きい成分（より極性の大きい成分）が表面または界面に偏析して安定化される。この安定化は、実際にフィルム製膜時の雰囲気または基板の種類による表面または基板との界面における偏析状況の変化として現れる。また一旦製膜されたフィルムを異なった環境に置くと（例えば、空气中から水中へ、ガラス基板上で製膜されたフィルムの基板面を空气中に曝す場合など）、偏析成分の移動が起こる。このような表面緩和の問題は、高分子表面についての一つの重要な課題になっている。このための解析法としては、動的接触角の測定^{14), 15)}や凍結乾燥試料のXPS解析^{16), 17)}などが有効であるが、本稿のテーマの範囲外であるので記述を省略した。興味を持たれる方は上記の関連文献を参照されたい。

文 献

- 1) 三木哲郎：化学と工業 **42**, 837 (1989).
- 2) 黒崎和夫：高分子 **32**, 642 (1983).
- 3) R. Chujo: "Progress in Pacific Polymer Science", ed. by B.C. Anderson, Y. Imanishi (Springer-Verlag, 1991) p. 227.
- 4) J. Maldener, K.-H. Giessler, T. Becht, F. Rauch, M.

- Stamm and E. Arai: Nucl. Instrum. Methods B **99**, 444 (1995).
- 5) H.R. Thomas and J.J. O'Mally: Macromolecules **14**, 1316 (1981).
- 6) D.H. Pan and W.M. Prest, Jr.: J. Appl. Phys. **58**, 2861 (1985).
- 7) D.G. LeGrand and G.L. Gaines, Jr.: J. Colloid Interface Sci. **31**, 162 (1969).
- 8) Q.S. Bhatia, D.H. Pan and J.T. Koberstein: Macromolecules **21**, 2166 (1988).
- 9) 田中敬二, 高原 淳, 橋山千里: Polym. Prepr. Jpn. **45**, 2894 (1996).
- 10) D.H. Pan: Effect of Temperature on Surface Segregation of Polymer Blends (presented at ANTEC, Special Symposium on the Analysis of Polymer Surfaces, May 7-11, 1990, Dallas).
- 11) T.P. Russell, G. Coulon, V.R. Deline and D.C. Miller: Macromolecules **22**, 4600 (1989).
- 12) K.-H. Giessler, D. Endisch, F. Rauch and M. Stamm: Fresenius J. Anal. Chem. **346**, 151 (1993).
- 13) G. Fredrickson: Macromolecules **20**, 2535 (1987).
- 14) 風間秀樹, 手塚育志, 今井清和: Polym. Prepr. Jpn. **38**, 3108 (1989).
- 15) E. Occhiello, M. Morra, F. Garbassi, D. Johnson and P. Humphrey: Appl. Surf. Sci. **47**, 235 (1991).
- 16) T. Yasuda, T. Okuno, K. Yoshida and H. Yasuda: J. Polym. Sci., Part B, Polym. Phys. **26**, 1781 (1988).
- 17) T. Yasuda, K. Yoshida, T. Okuno and H. Yasuda: J. Polym. Sci., Part B, Polym. Phys. **26**, 2061 (1988).